

# 平面応力波による弾性板内の円孔周辺応力状態について

京都大学工学部 正会員 工博 円羽義次  
 広島大学工学部 正会員 工修 佐藤誠  
 国 鉄 正会員 工修 ○久保晋

## 緒言

筆者らは、42年度関西支部講演会において半無限弾性体内を伝播する *Supersonic wave* による板内の主応力方向の変化および板内の円孔周部の応力集中について発表した。ここではさらに円孔周部の過渡的応力状態について、M.L.BARON<sup>1)</sup>によるモード解析の手法を導入し、とくに入射波の縦波部と横波部による応力状態に注目して実験した。

## 1). 解析の手法

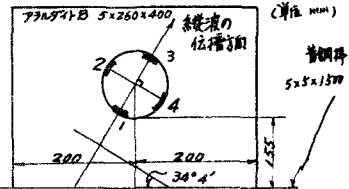
入射波として階段状の波形をもつ平面波を仮定し、円孔周部の境界条件は円孔のない弾性板の場合の円孔に対する位置に生ずる応力  $\hat{\sigma}_{rr}$  と  $\hat{\sigma}_{\theta\theta}$  をもとめ、それと逆方向の表面力を円孔周部に作用させることにより満足せらるものである。したがって円孔周辺の応力は入射波による応力と、円孔周に表面力を作用させた場合の応力を重ね合わせることにより得られる。

### 1-1 表面力を作用させた場合の応力

運動方程式  $C_p P^2 \phi = \frac{\partial^2}{r^2} \phi$ ,  
 $C_s P^2 \phi = \frac{\partial}{r} \phi$ .

ここで  $C_p = \sqrt{\frac{A_{\text{板}}}{P}}$ ,  $C_s = \sqrt{\frac{P}{f}}$ .  $A_{\text{板}}$ ,  $f$  は Lamé の定数であり,  $\phi \Rightarrow$

図-1  
実験模型と  
測点の位置



時間  $t$  について Fourier 変換を施し、また  $(r, \theta)$  については度数分離の概念を導入する。とくに  $\theta$  に関しては  $\cos n\theta$ ,  $\sin n\theta$  で与える。解析の容易さのため表面力を Fourier 級数に展開する。

### 縦波の部分については

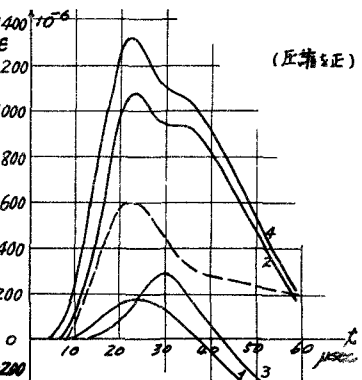
$$\sigma_{rr}^{(1)} = \frac{1}{2} U(t) + \sum_{n=1}^{\infty} a_n(t) \cos n\theta, \quad \sigma_{r\theta}^{(1)} = \sum_{n=1}^{\infty} b_n(t) \sin n\theta.$$

円孔周囲の変位  
(径 20mm)

### また横波の部分については

$$\sigma_{rr}^{(2)} = \sum_{n=1}^{\infty} c_n(t) \sin n\theta, \quad \sigma_{r\theta}^{(2)} = \sum_{n=1}^{\infty} d_n(t) \cos n\theta,$$

図-2



で示される。ここで ( ) 内の添字 (1), (2) は以下で縦波入射および横波入射を示すものとする。

その結果、表面力は次の 5 種類の場合にわけられ、その場合の解をそれぞれひらべて示すと、

$$\sigma_{rr} = U(t) \cos n\theta, \quad \sigma_{r\theta} = 0; \quad \sigma_{ij}^{**}.$$

$$\sigma_{rr} = U(t) \sin n\theta, \quad \sigma_{r\theta} = 0; \quad \sigma_{ij}^{***}.$$

$$\sigma_{rr} = 0, \quad \sigma_{r\theta} = U(t) \sin n\theta; \quad \sigma_{ij}^{**}.$$

$$\sigma_{rr} = 0, \quad \sigma_{r\theta} = U(t) \cos n\theta; \quad \sigma_{ij}^{***}.$$

$$\sigma_{rr} = U(t), \quad \sigma_{r\theta} = 0; \quad \sigma_{ij}^{**}.$$

ただし  $*$ 印のついた応力は  $(r, \theta)$  の  $r$  の関数である。  $i, j$  は  $r, \theta$  を示すテンソル記号であ

3.

上記(2), (3)の表面力が作用する場合の解は

$$\left\{ \begin{array}{l} \bar{\sigma}_{ij}^{(1)} = \tilde{\sigma}_{ijn}^{(1)} + \sum_{n=1}^{\infty} (\tilde{\sigma}_{ijn}^{(1)} + \tilde{\sigma}_{ijn}^{(1)}) \cos n\theta, \quad (i=j) \\ \bar{\sigma}_{ij}^{(2)} = \tilde{\sigma}_{ijn}^{(2)} + \sum_{n=1}^{\infty} (\tilde{\sigma}_{ijn}^{(2)} + \tilde{\sigma}_{ijn}^{(2)}) \sin n\theta, \quad (i \neq j) \end{array} \right.$$

$$\left\{ \begin{array}{l} \tilde{\sigma}_{ij}^{(2)} = \sum_{n=1}^{\infty} (\tilde{\sigma}_{ijn}^{(2)} + \tilde{\sigma}_{ijn}^{(2)}) \sin n\theta, \quad (i=j) \\ \tilde{\sigma}_{ij}^{(2)} = \sum_{n=1}^{\infty} (\tilde{\sigma}_{ijn}^{(2)} + \tilde{\sigma}_{ijn}^{(2)}) \cos n\theta, \quad (i \neq j) \end{array} \right.$$

で与えられる。

ここで、

$$\begin{aligned} \tilde{\sigma}_{ijn}^{(1)} &= \int_0^t d_n(\tau) \sigma_{ijn}^{(1)}(t-\tau) d\tau, & \tilde{\sigma}_{ijn}^{(2)} &= \int_0^t d_n(\tau) \sigma_{ijn}^{(2)}(t-\tau) d\tau, \\ \tilde{\sigma}_{ijn}^{(2)} &= \int_0^t b_n(\tau) \sigma_{ijn}^{(2)}(t-\tau) d\tau, & \tilde{\sigma}_{ijn}^{(1)} &= \int_0^t d_n(\tau) \sigma_{ijn}^{(1)}(t-\tau) d\tau, \\ \tilde{\sigma}_{ijn}^{(1)} &= \int_0^t \frac{1}{2} \dot{d}_n(\tau) \sigma_{ijn}^{(1)}(t-\tau) d\tau. \end{aligned}$$

"." は式についての微分符号を示す。

また一般には任意の波形  $F(t)$  の波が入射する

$$\text{場合の応力は}, \quad \sigma_{ij}^{(1)} = F(t) \tilde{\sigma}_{ij}^{(1)} + \int_0^t F(t-\tau) \tilde{\sigma}_{ij}^{(1)}(t-\tau) d\tau, \quad \text{図-3 応力分布の時間変化 (径 } 20\text{ mm})$$

( $t=1, 2$ ) で与えられる。

2). 実験概要 42年度関西学会講演概要に示したものと同様である。図-1に実験模型を示す。円孔径は  $20", 30"$  とした。

3). 実験結果および考察 図-2は、図-1に示される測点における歪  $E_{yy}$  を示したものである。同図において破線で示した曲線は円孔のない板内を伝播する応力波の最大主張を示したものである。これから入射波の波長は約  $10\text{ cm}$  であることがわかる。2, 4の測定において約  $2.5 \sim 3$  倍の応力集中を生じている。また1, 3の曲線は約  $25\text{ usec}$  の間圧縮率を生じている。

図-3は測点附近の動的弾性率から読みとった円孔周の応力分布を示したものである。縦波が円孔部に達しているときの応力分布と横波が円孔部に到達しているときとでは異なっている。縦波の場合、波の伝播方向に最小の応力を、それと直交する部分で最大の応力を生じる。一方横波の場合、伝播方向と  $45^\circ$  の部分で最大および最小となることがわかる。板内を伝播する応力波の主応力方向ともほぼ一致している。本実験のよう体波計の入射波が通過する場合、最大応力を生ずる位置は必ずしも円孔中心に正確には位置ではない。経が大きくなるとその傾向が著しくなる傾向を示す。最小応力についてはそれほどかたよらず、ほぼ円心に近くして正確である。

本実験に用いた程度の入射波の波長と経との比では、応力分布について  $20$  と  $30\text{ mm}$  とではほとんど差異がみられない。横波がある角度以上の入射角をもつて円孔周に入射するとRayleigh波を生じることが分っている。しかしその波の影響と考えられるものは明確にあらわれていない。実験の精度にも關係するが、今後は円孔の経の大きい場合について検討してみることが必要である。

現在前述の理論式をもとに計算を試みている段階で、当日との結果も発表する予定。

参考文献 1) M.L.BARON, A.T.MATTHEWS,

"Diffraction of a Pressure wave by a Cylindrical Cavity in an Elastic medium" Jour. of App. Mech. Vol. 23, pp. 341 - 352.